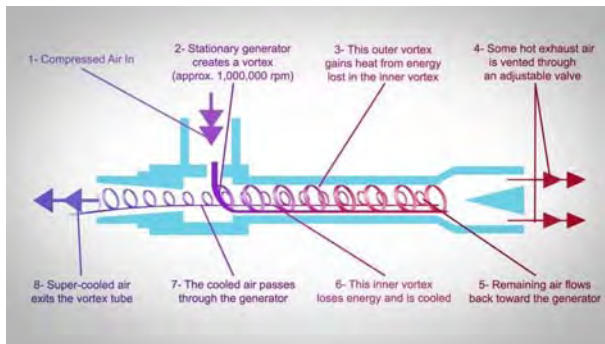


مجموعه مقالات اولین کنفرانس بین المللی تپویه مطبوع و تاسیسات حرارتی و برودتی
۳۱ اردیبهشت ۱۳۹۴، ایران، تهران، مرکز همایش‌های صدا و سیما
 مجری: انجمن علمی مهندسی حرارتی و برودتی ایران
HVACconf-IRSHRAE-1-59

تحلیل نرم افزاری و بررسی تجربی اثر تغییرات فشار هوای ورودی نازل های ورودی بر متغیرهای دینامیکی و ترمودینامیکی لوله گردبادی دو نازله

عادل مقصودپور، استادیار دانشکده مهندسی مکانیک و هوافضا، دانشگاه آزاد اسلامی واحد علوم و تحقیقات تهران؛ A.maghsoodpour@srbiau.ac.ir
جمشید قسمی، مدیر پخش تحقیق و توسعه، بنیاد علمی و فرهنگی پروفسور حسابی؛ Jgh1001@yahoo.com
بنیامین ساریخانی، دانشجوی مهندسی مکانیک، دانشگاه آزاد اسلامی واحد علوم و تحقیقات تهران؛ Benyamin.Sarikhany@yahoo.com
ایمان احمدی، دانشجوی مهندسی هوافضا، دانشگاه آزاد اسلامی واحد علوم و تحقیقات تهران؛ Iahmadi72@gmail.com

در سیستم لوله گردبادی گاز تحت فشار از طریق کمپرسور^۵ هوا به طور مماس از طریق یک یا چند نازل ورودی به یک لوله اصلی با سرعت و شتاب چرخشی بسیار بالا تزریق می شود.^[۱]
اجزای لوله گردبادی : ۱- یک (یا چند) نازل ورودی. ۲- لوله اصلی.
۳- خروجی جریان هوای سرد. ۴- خروجی جریان هوای گرم. ۵- پیچ تنظیم کننده طول لوله اصلی.
از مزایای این دستگاه می توان به عدم وجود قطعات متحرک و در نتیجه ای آن کاهش انتقال انرژی ناشی از اصطکاک اشاره نمود.^[۱]
در شکل زیر همه ای اجزا و نحوه ای عملکرد لوله گردبادی آورده شده است.(شکل ۱)



شکل ۱: شماتیکی لوله گردباد[۴]

طی فرآیند ورود جریان هوایی با فشار بالا به درون لوله گردبادی، گردباد داخلی اندازه حرکت زاویه ای خود را از دست داده و این کاهش اندازه حرکت را به صورت انرژی جنبشی به گردباد بیرونی منتقل می کند که در نتیجه آن گردباد بیرونی داغ و جریان هوایی درونی سرد از یکدیگر مجزا می شوند. با توجه به مخروطی بودن پیچ تنظیم واقع در انتهای لوله، تنها گردباد بیرونی هوای فشرده می تواند از انتهای لوله اصلی خارج شود. هوای فشرده باقی مانده مجبور به بازگشت به صورت گردباد داخلی است.

گردباد داخلی دارای قطر کمتر نسبت به گردباد خارجی می باشد. در سال ۱۹۸۸ آر تی بالمر^۶ سر راه خروجی کمپرسور مورد استفاده ای خود از فیلترهای رطوبت گیر استفاده نکرد و آب هم همراه با هوا وارد لوله گردبادی شد. در این آزمایش متوجه نکته ای جالبی شد که اگر فشار ورودی بین ۲۰ - ۵۰ بار باشد، در این حالت، در مورد آب (سیال تراکم ناپذیر) وارد

⁵ Compressor
⁶ R.T.Balmer

چکیده

در این مقاله به عوامل موثر بر افزایش بارده عملکرد لوله گردبادی^۱ پرداخته شده. لوله گردبادی وسیله ای مکانیکی برای جداسازی یک جریان هوای فشرده به دو جریان هوای سرده و گرمتر از جریان ورودی به طور همزمان است. طراحی ساده، حجم کم و بی نیازی از تعییر، باعث شده تا این دستگاه دو منظوره در صفت موردنظر قرار گیرد.^[۱] با توجه به پتانسیل علمی و امکانات موجود بر آن شدید تا بر روی آن تحقیقات و آزمایشات بیشتری انجام دهیم. لوله گردبادی با دو نازل ورودی را طراحی، ساخته و به صورت تجربی مورد آزمایش قرار دادیم. همچنین به تحلیل عددی مشخصه های دینامیکی و ترمودینامیکی نازل(ها) ورودی لوله گردبادی با استفاده از نرم افزارهای شبیه سازی^۲ و تحلیلی، در فشارهای مختلف هوای ورودی پرداختیم که در قسمت نتیجه گیری نتایج آن تشریح خواهد شد. لازم به ذکر است به علت تاثیر گذاری نازل(ها) ورودی بر عملکرد لوله گردبادی، تحلیل این قسمت مورد توجه است.

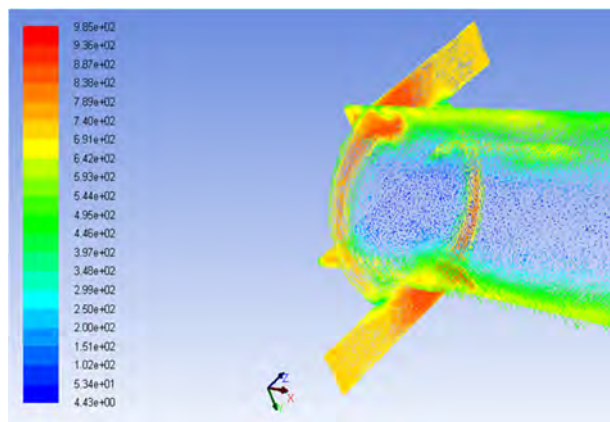
کلمات کلیدی: لوله گردبادی – دستگاه دو منظوره – نازل ورودی – تحلیل عددی

مقدمه

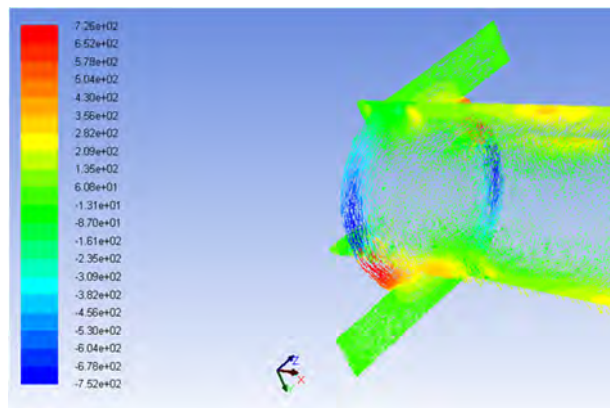
پدیده ای که در لوله گردبادی رخ می دهد را اولین بار فیزیکدانی فرانسوی به نام جرج رنک^۳ در سال ۱۹۳۱ میلادی کشف کرد.^[۱] سپس در سال ۱۹۴۷ مهندسی آلمانی به نام رادولف هیلیش طراحی لوله را اصلاح نموده و بازده آن را افزایش داد. به همین دلیل پدیده ای که در لوله گردبادی رخ می دهد را اثر رنک – هیلش می نامند.^[۲]

همچنین لوله ی گردبادی در سال ۱۹۶۷ توسط لیندرستون لانگ^۴ برای جدا کردن اکسیژن و نیتروژن، کربن دی اکسید و هلیم از هوا و جدایش مخلوط های گازی مورد استفاده قرار گرفت.^[۳] از آن پس محققان زیادی پیرامون این وسیله به تحقیق و بررسی پرداخته اند، اما تاکنون هیچ نظریه ای واحدی را برای توجیه این پدیده بیان ننموده اند. در این مقاله سعی شده عوامل موثر بر افزایش بازده لوله گردبادی را بررسی کنیم.

¹ Vortex Tube
² Simulation
³ George Ranque
⁴ Linderstrom-Lang

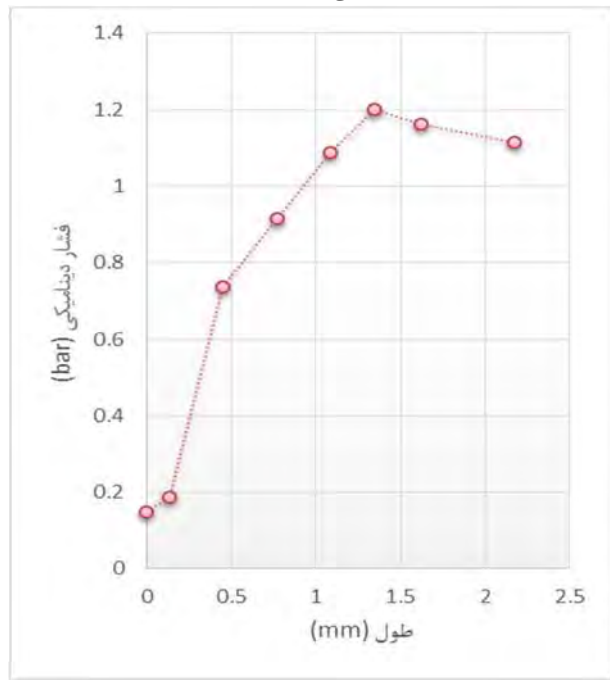


شکل ۴: منحنی برداری سرعت چرخشی در امتداد جریان لوله گردبادی



شکل ۵: منحنی برداری سرعت دورانی در امتداد جریان گردبادی

با توجه به مسیر یکنواخت و منطقی تغییرات مشخصه های مورد بررسی و برای اختصار متن در قسمت بعدی فقط اثر فشار های ۱۰، ۸ و ۱۳ بار ورودی را بر فشار دینامیکی وارد بر لوله گردبادی به صورت عددی تحلیل نموده و نمودارهایش را ملاحظه می کنید. (شکل های ۶ و ۷)



شکل ۶: تغییرات فشار دینامیکی در طول نازل ورودی ۸ بار

شده به لوله گردبادی نیز، جداسازی سیال به صورت سرد و گرم همانند هوای فشرده با رطوبت بسیار کم، وجود دارد.^[۵] با توجه به تحقیقات و محاسبات انجام شده، در شرایطی که دمای محیط ۳۰۰ کلوین باشد لوله گردبادی می تواند هوای "گرمی" با حداکثر دمای ۴۷۳ کلوین و هوای "سردی" با حداقل دمای ۲۲۳ کلوین تولید کند.^[۶]

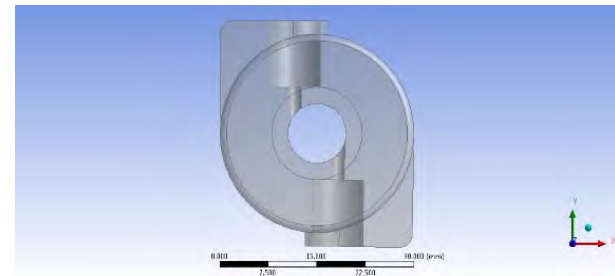
یکی از معایب این دستگاه پایین بودن راندمان است بطوریکه بیشترین میزان ضربی بهره وری انرژی ، ۴۰٪ است. (فرمول ۱)

$$\eta_S = \frac{\mu \cdot \Delta I_X}{\Delta I_S + \mu \cdot \Delta I_{S'}} \quad (1)$$

طراحی لوله گردبادی توسط نرم افزار کتیا^۷

یک نمونه لوله گردبادی با دو نازل ورودی را کاملاً با دانش فنی خود با نرم افزار کتیا نسخه ۲۱ طراحی و توسط دستگاه تراشکاری سی ان سی با دقیق ۱،۰ میلی متر و تماماً از فلز برنج ساخته و آزمایشات را بر روی آن انجام داده ایم.

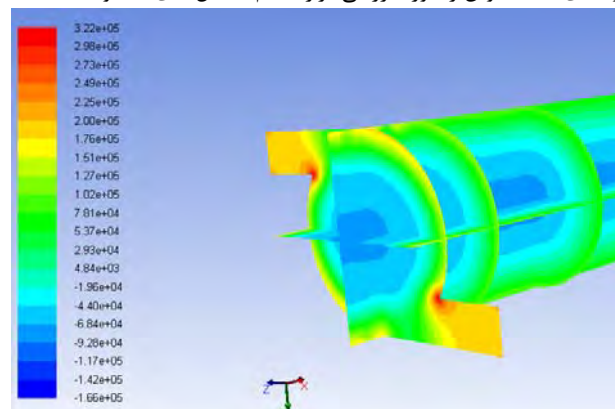
بدیهی است برای بوجود آمدن جریان گردبادی درون لوله باید دو نازل با زاویه ۱۸۰ درجه نسبت به هم بر مقطع دایره لوله وارد شود و در جهت مخالف یکدیگر باشد. (شکل ۲)



شکل ۲: مقطع روبرو نازل های ورودی لوله گردبادی

تحلیل لوله گردبادی با استفاده از نرم افزار آنسیس فلئونت^۸

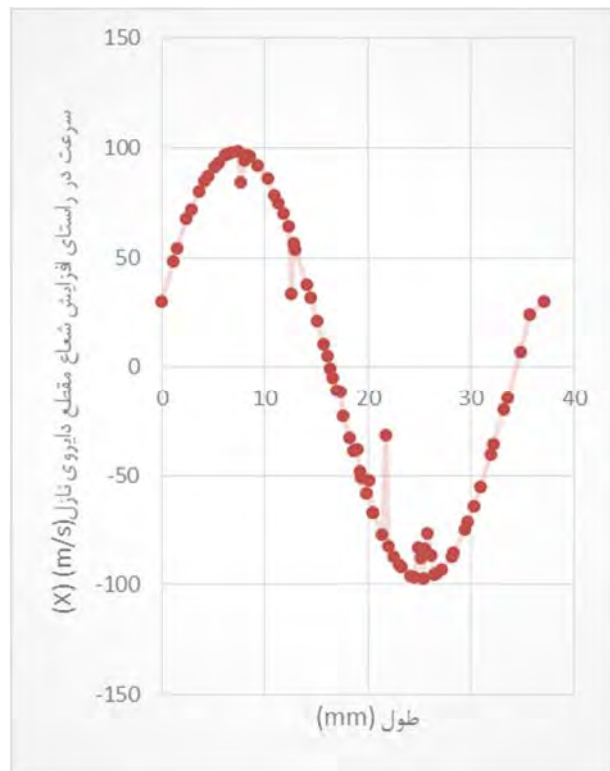
با استفاده از نرم افزار آنسیس فلئونت نسخه ۱۴.۵ مشخصه های مختلف قابل شبیه سازی لوله گردبادی که عبارتند از فشار، سرعت چرخش داخل نازل ورودی و سرعت دورانی در لوله گردبادی برای فشار های ورودی ۵ بار و دمای ۳۰۰ کلوین را مورد بررسی قرار دادیم. (شکل های ۳، ۴ و ۵)



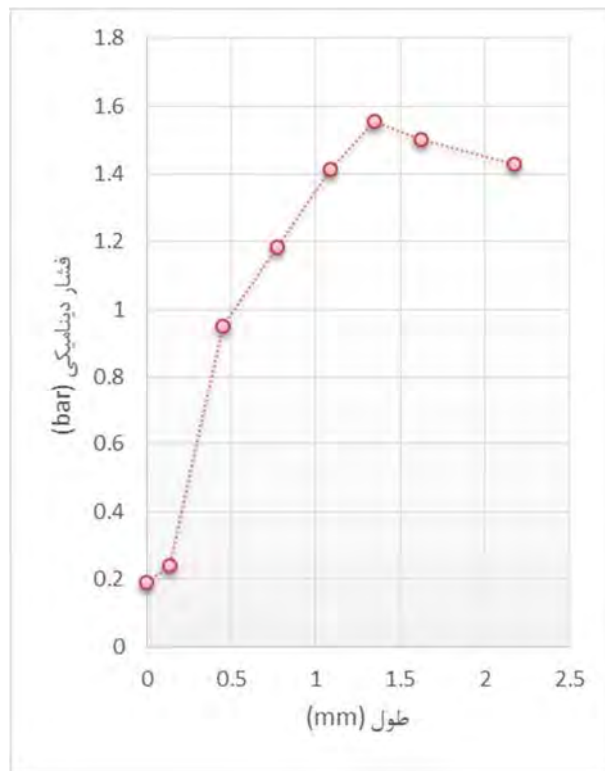
شکل ۳: منحنی هم ترازی فشار در امتداد جریان در لوله گردبادی

⁷ Catia

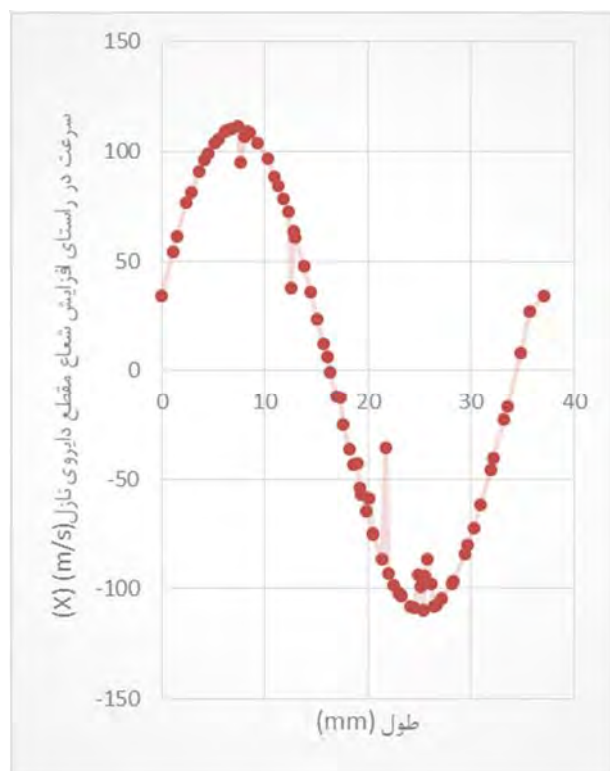
⁸ Ansys Fluent



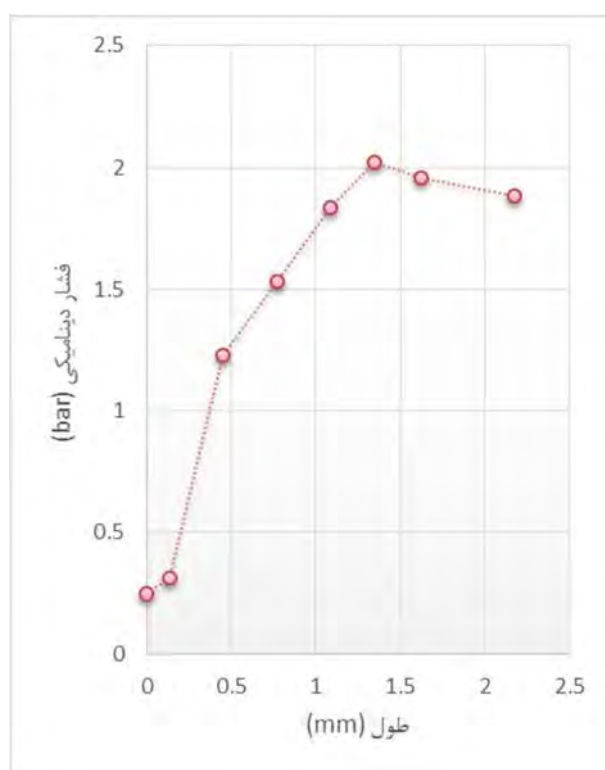
شکل ۹: سرعت دورانی داخل نازل ورودی در فشار ۸ بار



شکل ۷: تغییرات فشار دینامیکی در طول نازل ورودی در فشار هوای ورودی ۱۰ بار



شکل ۱۰: سرعت دورانی داخل نازل ورودی در فشار ۱۰ بار



شکل ۸: تغییرات فشار دینامیکی در طول نازل ورودی در فشار هوای ورودی ۱۳ بار

در ادامه به تحلیل عددی سرعت دورانی در نازل ورودی در راستای افزایش شعاع مقطع دایری نازل با فشارهای ورودی ۱۰، ۱۰.۸ و ۱۳ بار می پردازیم. (شکل های ۹، ۱۰ و ۱۱)

نتایج

با توجه به آزمایشات انجام شده و تحلیل ها، تغییرات مشخصه های دینامیکی و ترمودینامیکی نازل های ورودی که وابسته به دما و فشار هستند را در قالب جداول ۱ و ۲ ارایه کردیم: (دما میتوان ۳۰۰ کلوین)

جدول ۱: اثر تغییرات فشار ۱ تا ۵ بار هوای ورودی بر مشخصه ها

فشار ورودی	۱ بار	۲ بار	۳ بار	۴ بار	۵ بار
دما پیشنهادی (K)	۳۰۲	۳۰۲۵	۳۰۴۴	۳۰۵۳	۳۰۷
انرژی گرمایی منتقل شده از دیواره ها (W/m ²)	۱۳۲.۴	۲۱۰	۲۶۸	۳۱۴	۳۵۳
m/s	۸۵	۱۱۵	۱۴۷	۱۵۰	۱۶۳
پیشنهادی سرعت چرخش گردباد با شعاع (mm ۴) دور بر دقیقه	۱۸۰۰۰	۲۴۴۰۰	۳۱۲۰۰	۳۱۸۰۰	۳۴۶۰۰
m/S	۸	۱۱	۱۲.۵	۱۵.۷	۱۷.۵
پیشنهادی سرعت چرخش گردباد با شعاع (mm ۲) دور بر دقیقه	۳۸۰۰	۵۲۰۰	۵۹۰۰	۷۵۰۰	۸۳۰۰

جدول ۲: اثر تغییرات فشار ۸ تا ۱۳ بار هوای ورودی بر مشخصه ها

فشار ورودی	۸ بار	۹ بار	۱۰ بار	۱۱ بار	۱۲ بار	۱۳ بار
دما پیشنهادی (K)	۳۰۸.۵	۳۱۰	۳۱۳.۴	۳۱۵.۵	۳۱۹	۳۲۵.۶
انرژی گرمایی منتقل شده از دیواره ها (W/m ²)	۸۸۰	۹۱۰	۹۳۴	۹۸۹	۱۰۰۴	۱۰۵
m/s	۳۳۵	۳۷۹	۳۹۸	۴۲۰	۴۴۱	۴۶۷
پیشنهادی سرعت چرخش گردباد با شعاع (mm ۴) دور بر دقیقه	۸۰۰.۱۵۹	۹۰۵.۲۵۵	۹۵۰.۶۳۷	۱۰۰۳.۱۸۵	۱۰۵۳.۳۴۴	۱۱۱۵.۴۴۶
دما کمینه (K)	۲۶۳	۲۶۲	۲۶۰	۲۵۹	۲۵۸	۲۵۸

نتیجه‌گیری و جمع‌بندی

مهمترین مشخصه در لوله گردبادی که معمولاً به عنوان بازده از آن یاد می شود، اختلاف دمای دو جریان هوای سرد و گرم خروجی، با جریان هوای ورودی است. با توجه به نتایج بدست آمده در جداول ۱ و ۲ و مقایسه آن با آزمایشات تجربی می توان گفت اختلاف دمای مذکور به پنج عامل مهم وابسته است که عبارتند از:

۱- فشار ورودی: با افزایش فشار ورودی اختلاف دمای جریان ورودی و جریان های خروجی بیشتر می شود.

۲- قطر نازل (ها) ورودی و چگونگی ورود آن به لوله گردبادی.

۳- قطر نازل سرد: با کاهش قطر نازل خروجی هوای سرد بازده عملکردی افزایش می یابد.

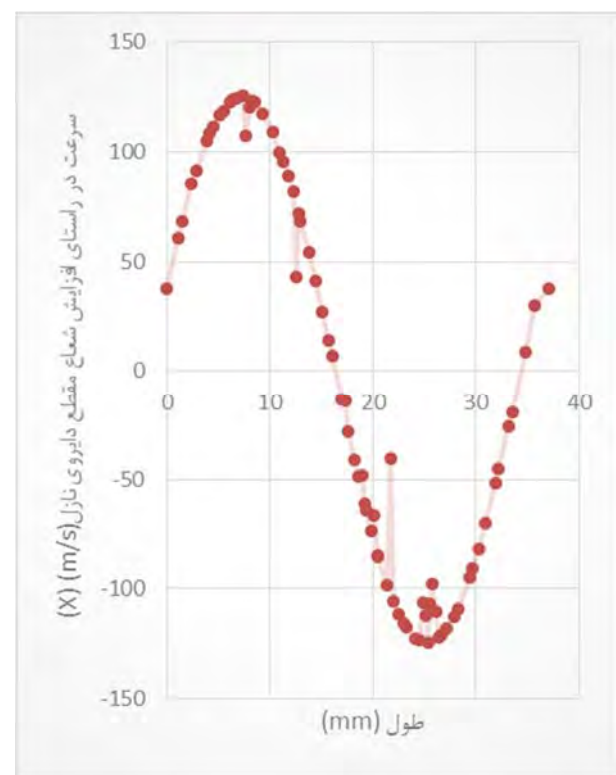
۴- نسبت طول لوله اصلی به قطر آن.

۵- جنس لوله اصلی: برای بهبود عملکرد لوله گردبادی باید برای لوله اصلی از فلزی استفاده شود که زبری سطح بالایی داشته باشد.

پیشنهاد: می توان مشخصه های ترمودینامیکی لوله گردبادی را با توجه به تعداد نازل های ورودی آن بررسی نمود.

قدرتانی و تشکر

در انتها لازم است از پشتیبانی های دانشگاه آزاد اسلامی واحد علوم و تحقیقات تهران و همچنین بنیاد علمی و فرهنگی پروفوسور حسابی، خصوصاً جناب آقای مهندس ایرج حسابی مدیریت محترم بنیاد پروفوسور حسابی صمیمانه تشکر و قدردانی نماییم.



شکل ۱۱: سرعت دورانی داخل نازل ورودی در فشار ۱۳ بار

برای آزمایشات دو شرط ۱- فشار بین یک تا ۱۳ بار و ۲- دما میتوان ۳۰۰ کلوین) را در نظر گرفته و پنج مشخصه دمای خروجی گرم، دمای خروجی سرد، مقدار انرژی گرمایی انتقال یافته، سرعت مماسی ورودی، سرعت چرخش گردباد در مقطع دایری لوله گردبادی را بررسی نمودیم. نکته حائز اهمیت در استفاده از لوله های گردبادی این است که باید هوای فشرده ورودی به لوله گردبادی عاری از رطوبت بوده و پس از شیر خروجی دستگاه کمپرسور هوا، حتماً فیلتر رطوبت گیر قرار گیرد. در غیر اینصورت آن مقدار آبی که وارد لوله گردبادی می شود، اگر فشار در بازه ای یک تا ۲۰ بار باشد، سبب اختلال در خط مسیر سیال داخل لوله می شود و میزان ضریب بهره وری انرژی لوله گردبادی را پایین می آورد. در نتیجه باعث کاهش اختلاف دمای محيط با دمای دو سر و گرم لوله می شود. در این قسمت با استفاده از تکنیک دینامیک سیالات محاسباتی به بررسی اثر تغییرات مشخصه های ترمودینامیکی ورودی نازل ها چون: فشار، دما و رطوبت بر هر یک از پارامتر های انتقال حرارت دیواره ها، سرعت مماسی نازل های ورودی، سرعت گردبادهای درون لوله (بر حسب دور بر دقیقه)، دمای خروجی سرد و دمای خروجی گرم مدل راپرداخته و استخراج نمودیم. سرعت مماسی نمایانگر حرکت چرخشی سیال در این مقطع می باشد که به راحتی و از فرمول ۲ می توان سرعت (دور بر دقیقه) تولید شده در این مقطع را محاسبه نمود:

$$\omega = \frac{V_{tang}}{\frac{r}{\pi} \times 60} \quad (2)$$

در جدول ۱ با توجه به لوله گردبادی ساخته شده، دو شعاع ورودی نمونه یعنی ۲ میلی متر و ۴ میلی متر در نظر گرفته شده است.

[1] Hilsch, R, "The use of expansion of gases in a centrifugal field as cooling process". *The Review of Scientific Instrument.*, 1947s, pp.108-113.

[2] G.J. Ranque, " Experiments on expansion in a vortex with simultaneous exhaust of hot air and cold air", *Le Journal de Physique et Le Radium*, 1933, 4(7):112-115.

[3] ChengmingnGao ,ExperimentalnStudy on the Ranque-Hilsch Vortex Tube, 2005 ,2.

[4] URL <http://www.jotse.org/index.php/jotse/article/view/86/13>

[5] URL http://en.wikipedia.org/wiki/Vortex_tube

[6] Walker, J., "The madness of stirring tea". *The Flying Circus of Physics*. John Wiley & Sons, Inc., 1975 p. 97. ISBN 0-471-91808-3.

[7] Khait, A.V., Noskov, A.S., Alekhin, V.N, "Mathematical simulation of Ranque-Hilsch vortex tube heat and power performances". *14th International Conference on Computing in Civil and Bulding Engineering*, 2012.

$$\text{فهرست علائم} \\ \begin{array}{ll} \text{سرعت مماسی,} & V_{tang} \\ \text{m/s,} & \\ \text{شعاع,} & r \end{array}$$

$$\begin{array}{ll} \text{اختلاف آنتالپی از فشار ورودی جریان} & \\ \text{اصلی به فشار جریان سرد در انبساط هم} & \Delta I_S \\ \text{آنتروپی گاز ایده آل} & \end{array}$$

$$\begin{array}{ll} \text{اختلاف آنتالپی از فشار ورودی جریان} & \\ \text{های اضافی به فشار جریان سرد در} & \Delta I_S' \\ \text{انبساط هم آنتروپی گاز ایده آل} & \end{array}$$

$$\begin{array}{ll} \text{اختلاف آنتالپی بین جریان ورودی اصلی} & \\ \text{و جریان سرد در لوله گرددادی} & \Delta I_X \\ \text{علایم یونانی} & \end{array}$$

$$\begin{array}{ll} \text{نسبت دبی جرمی جریان سرد به دبی} & M \\ \text{جرمی جریان ورودی} & \\ \text{بر rpm سرعت دورانی داخل لوله اصلی} & \Omega \\ \text{اساس دور بر دقیقه,} & \end{array}$$

مراجع